



# Association of Arab Universities Journal of Engineering Sciences

مجلة اتحاد الجامعات العربية للدراسات والبحوث الهندسية

## طريقة مفترحة لتحسين أداء نظام PAPR من ناحية BER

علاء الدين العلي<sup>1</sup> و محمد سمير مدبس<sup>2</sup>

<sup>1</sup> قسم هندسة الاتصالات - كلية الهندسة الكهربائية والالكترونية، جامعة حلب، حلب، سوريا

<sup>2</sup> قسم هندسة الاتصالات - كلية الهندسة الكهربائية والالكترونية، جامعة حلب ،حلب،سوريا

\* الباحث الممثل: علاء الدين العلي، alaa90.lord@gmail.com

نشر في: 31 كانون الاول 2025

**الخلاصة :** تم في هذا البحث تخفيف تأثير أهم مشكلتين يعاني منها نظام الترشيح الكلي متعدد الحاملات (Universal Filtered Multicarrier) وهم مشكلة القيمة العظمى لنسبة القيمة العظمى إلى معدل الطاقة (PAPR) في طرف الإرسال والثانية هي مشكلة التداخل بين الحاملات الفرعية (ICI) التي تسبب تدهور معدل خطأ الخانة (BER) وبالتالي انهيار أداء النظام، حيث تم اقتراح طريقة لتخفيف PAPR و BER معًا من خلال تطبيق تقنية التحويل الانتقائي (Selective Mapping) مع طريقة مرافق البيانات (Data Conjugate) في نظام UFMC حيث ثبتت نتائج المحاكاة باستخدام بيئة MATLAB حيث تم تحسين أداء النظام بـ 5% في ظرف الإرسال، تمت المحاكاة باستخدام بيئة MATLAB حيث ثبتت نتائج المحاكاة أن الطريقة المقترحة تعطي كفاءة أفضل من نظام UFMC الأساسي، فمن أجل 16QAM وإزاحة ترددية  $\epsilon=0.05$  (ليس لها واحدة) يكون  $BER=10^{-5}$  عند  $E_b/N_0 \approx 15.5\text{dB}$ ، أما من ناحية PAPR تم تخفيف هذه النسبة بحوالي 2.25dB مقارنة بنظام UFMC الأساسي.

**الكلمات الرئيسية :** نظام الترشيح الكلي متعدد الحاملات، تقنية التحويل الانتقائي، طريقة مرافق البيانات، نسبة القيمة العظمى إلى معدل الطاقة، معدل خطأ الخانة.

### 1. المقدمة

ب حوالي 1.2dB ولكن على حساب معدل خطأ الرمز (SER) الذي تدهور ب حوالي 2.2dB مقارنة مع نظام UFMC الأساسي.

قام الباحثون في [16] باقتراح تقنية جديدة أيضًا لتنقليق قيمة PAPR في نظام UFMC وذلك باستخدام تقنية التحويل الانتقائي (SLM) مع الخوارزمية الجينية (Genetic Algorithm)، حيث تمكنا من تنقليق قيمة PAPR بشكل جيد، أما نسبة BER لم تتحسن وبقيت نفسها كما في نظام UFMC الأساسي.

كذلك قام الباحثون في [13] باقتراح تقنية فعالة لتنقليق قيمة PAPR في نظام UFMC اعتماداً على تقنية التحويل الانتقائي (SLM)، حيث قاموا بتوليد إشارات UFMC مختلفة عددها يساوي  $U^2/4$  ومن ثم اختيار الإشارة التي تحقق أقل قيمة لـ PAPR وارسلوها عبر قناة الاتصال، حيث تشير U إلى عدد متجهات دوران الطور (Phase Rotation Vectors)، فتمكنا بتنقليقهم المقترحة من تنقليق قيمة PAPR بشكل جيد أيضًا بدون التأثير على نسبة BER التي بقيت نفسها كما في نظام UFMC الأساسي.

### 2. أهمية البحث وأهدافه:

تكمن أهمية البحث في تحسين أداء نظام UFMC من خلال تخفيف معدل الطاقة (PAPR) وقياس معدل خطأ الخانة (BER) من أجل أنواع متضمنين وقيم إزاحة ترددية مختلفة.

### 3. التوصيف الرياضي لنظام UFMC :

يوضح الشكل (1) المخطط الصندوفى المبسط لنظام UFMC [11]، ففي طرف الإرسال يتم تقسيم الحزمة الكلية إلى عدة حزم فرعية، حيث تختلف طريقة الترشيح في نظام UFMC عن الأنظمة الأخرى ففي نظام التجميع بالتقسيم الترددى المتعدد (OFDM) يتم ترشيح كل حزمة فرعية بفعة واحدة أما في نظام UFMC يتم ترشيح كل حزمة فرعية بشكل منفصل، وتعطى

نظام الترشيح الكلي متعدد الحاملات (UFMC) هو تقنية إرسال متعددة الحاملات يتم فيها إرسال الإشارة عبر العديد من الحاملات الفرعية-sub carriers (orthogonal) التي تكون متعامدة (orthogonal) فيما بينها، ويعتبر هذا النظام من أهم الأنظمة المرشحة لل استخدام في الاتصالات اللاسلكية المستقبلية بدلاً من نظام التجميع بالتقسيم الترددى المتعدد (OFDM) [2,3,5]، ولكن الأنظمة متعددة الحاملات بشكل عام ومنها نظام UFMC تعاني من مشكلتين أساسيتين الأولى هي مشكلة القيمة العظمى لنسبة القيمة العظمى إلى معدل الطاقة (PAPR) الناتجة عن جمع الحاملات الفرعية في طرف الإرسال والثانية هي مشكلة التداخل بين الحاملات الفرعية (ICI) الناتجة عن فقدان التعامدية بين الحاملات الفرعية بسبب إزاحة دوبلر أو بسبب الاختلاف الترددى بين المهتز المحلى للمرسل والمهتز المحلى لل المستقبل. يوجد عدة طرق لتخفيف PAPR وICI ولكن لم يتم التوصل في الدراسات المرجعية لطريقة تخفيف هاتين المشكلتين معاً، وستستعرض ما توصل إليه الباحثون من خلال الدراسات المرجعية التالية:

قام الباحثون في [9] بعرض بعض التقنيات المستخدمة لتخفيف PAPR في نظام UFMC، ثم قاموا باقتراح تقنية حبينة عن طريق تطبيق تقنية القص (Clipping) مع تقنية التحويل الانتقائي (SLM)، حيث تمكنا من تنقليق قيمة PAPR إلا أنهم لم يتطرقوا إلى تقييم أداء تقنيتهم المقترحة من ناحية BER.

كما قام الباحثون في [8] بدمج تقنية القص والترشيح Clipping and Filtering مع تقنية الضغط والتوضيع (Companding)، حيث قدمت تقنيتهم المقترحة أداء جيد في تنقليق قيمة PAPR أيضًا ولكن على حساب الـ BER الذي تدهور بشكل كبير مقارنة مع التقنيات الأخرى.

اقتراح الباحثون في [6]، تقنية لتنقليق PAPR في نظام UFMC باستخدام تقنية خلط الإشارة (Scrambling) مع إحدى الخوارزميات الذكية المستوحاة من الطبيعة وهي خوارزمية الفراشات المضيئة (Firefly Algorithm)، حيث تمكنا بتنقليقهم المقترحة من تنقليق قيمة PAPR

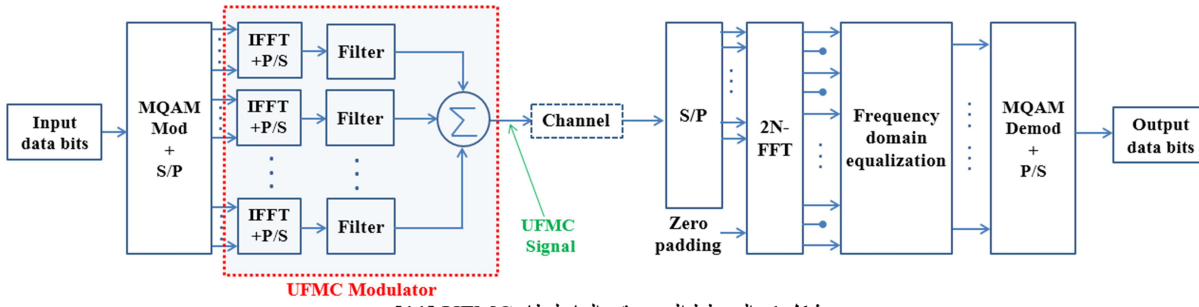
$S_i(k)$ : تعبير عن رموز المعطيات التي يتم إرسالها على الحامل الفرعى  $k$  للحزمة الفرعية  $i$ .

$K_i$ : عدد الحاملات الفرعية في الحزمة الفرعية  $i$  ،  $N$ : حجمIFFT .  
 $L$ : طول المرشح (filter length) ،  $B$ : عدد الحزم الفرعية (sub-band).  
 $X(n)$ : إشارة UFMC في المجال الزمني.

الصيغة الرياضية المعتبرة عن إشارة UFMC في خرج المرسل بالعلاقة (1): [7]

$$x(n) = \frac{1}{N} \sum_{i=1}^B \sum_{l=0}^{L-1} \sum_{k=0}^{K_i-1} S_i(k) f_i(n-l) e^{\frac{j2\pi kn}{N}} \\ : n = 0, \dots, N+L-1 \quad (1)$$

$f_i(n-l)$ : الاستجابة النسبية (impulse response) للمرشح المطبق على الحزمة الفرعية  $i$  ، يعبر  $f_i(n-l)$  عن الفرق بين العينة الحالية  $(n)$  للإشارة والعينة من الاستجابة النسبية للمرشح التي تطبق عليها  $(l)$ .



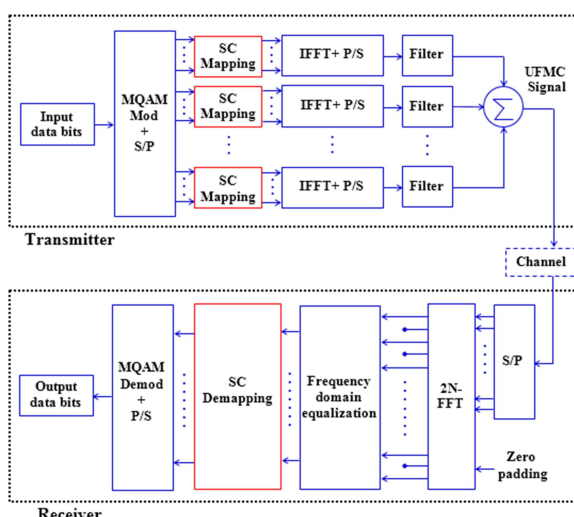
شكل 1: المخطط الصندوقى العام لنظام UFMC [11]

## 5. تقنية الإلغاء الذاتي للتداخل بين الحاملات الفرعية:

وهي التقنية الأكثر كفاءة في الحد من تأثير ICI والأقل تعقيداً من الناحية التصميمية من جميع التقنيات الأخرى كونها لا تتطلب تسوية (equalization) ولا تتطلب تقدير قناة (channel estimation) (multipath fading channels) [15]، حيث تكمن فكرة هذه التقنية في توزيع رمز المعطيات على مجموعة من الحاملات الفرعية بحيث أن معاملات التداخل ضمن المجموعة الواحدة تلغى بعضها البعض، ولتطبيقها يتم إضافة مراحلتين بسيطتين لنظام UFMC:

- مرحلة Self-Cancellation Mapping في طرف الإرسال.
- مرحلة Self-Cancellation Demapping في طرف الاستقبال.

ويعطي المخطط الصندوقى لنظام UFMC مع تقنية الإلغاء الذاتي للتداخل بين الحاملات الفرعية بالشكل (2):



شكل 2: المخطط الصندوقى لنظام UFMC مع تقنية الإلغاء الذاتي لـ ICI

بفرض أن إشارة UFMC تعرضت لإزاحة تردية قدرها  $\epsilon$  خلال قناة الاتصال، فإن الصيغة الرياضية المعتبرة عن الإشارة المستقبلة بعد مرحلة 2N-FFT تعطى بالعلاقة (2): [7]

$$y(m) = \sum_{i=1}^B \sum_{k=0}^{K_i-1} S_i(k) I(k-m) + w(m) \quad (2)$$

حيث تعبّر  $w(m)$  عن الضجيج الأبيض الغوصي (AWGN) المقدم خلال قناة الاتصال، وتشير  $I(k-m)$  إلى معاملات ICI وهي ترتبط بالإزاحة الترددية  $\epsilon$  وتعطى بالعلاقة (3): [7]

$$I(k-m) = \frac{1}{N} \sum_{n=0}^{N+L-2} \sum_{l=0}^{L-1} f_i(n-l) e^{j2\pi kn/N} e^{-j2\pi\epsilon n/N} e^{-j2\pi m l/N} \quad (3)$$

## 4. تقنية التحويل الانتقاني (SLM) [4,12]

تعالج هذه التقنية مشكلة PAPR في الأنظمة متعددة الحاملات، حيث تم ابتكارها عام 1996 وتم تطبيقها في ذلك الوقت على نظام التجميع بالتقسيم الترددي المتعدد (OFDM)، وتم لاحقاً تطبيقها على الأنظمة المرشحة للاستخدام في الجيل الخامس للاتصالات ومنها نظام UFMC حيث أعطت كفاءة في تخفيض PAPR. ببساطة يعتمد مبدأ عمل هذه التقنية على قيام المرسل بتوليد مجموعة من بلوكات المعلومات المختلفة وجميعها يمثل نفس المعلومات التي يمثلها البلوك الأصلي، حيث يتم ضرب كل بلوك بمتجه دوران طوري مختلف والهدف من هذه العملية هو اختيار البلوك الذي يعطي أقل قيمة لـ PAPR لإرساله عبر القناة، حيث يتم قياس قيمة PAPR في خرج مرسل UFMC، وتعطى العلاقة المعتبرة عن نسبة القيمة العظمى إلى معدل الطاقة PAPR بالعلاقة (4): [1,16]

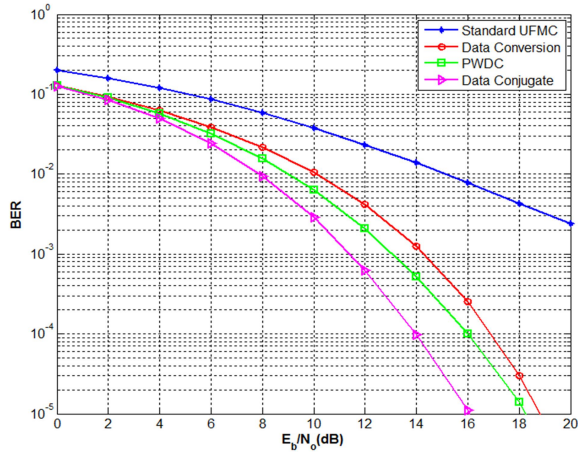
$$PAPR = \frac{\max \{ |x[n]|^2 \}}{E \{ |x[n]|^2 \}} \quad (4)$$

حيث  $|x[n]|$  تشير إلى مطال  $x[n]$ ،  $E$  تشير إلى القيمة المتوقعة.

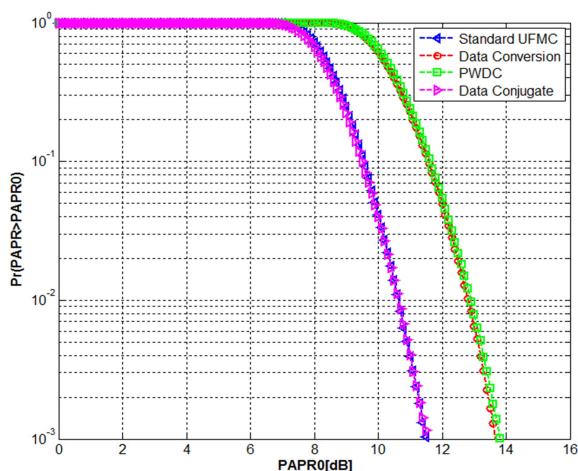
.
.
$S_i(N_{BC} - 2)$
$S_i(N_{BC} - 1) = -S_i^*(N_{BC} - 2)$

.  $S_i^*$  : المرافق العقدي للرمز .

وبنطبيق هذه الطرق الثلاثة في نظام UFMC لتقدير أداء كل منها من ناحية PAPR و BER، نلاحظ من الشكلين (3) و (4) أن طريقة مرافق البيانات تتفوق على طريقة تحويل البيانات وطريقة تحويل البيانات الموزون الجماعي من ناحية BER، ومن ناحية PAPR، لذا سنعتمد على آلية طريقة مرافق البيانات في توزيع رموز المعطيات (Data Symbol) على الحاملات الفرعية في الطريقة المقترنة.



شكل 3: مقارنة منحنيات BER لطرق الإلغاء الذاتي في نظام UFMC، حالة تضمين  $\epsilon=0.05$ ، 16QAM، بدون استخدام SLM



شكل 4: مقارنة منحنيات PAPR لطرق الإلغاء الذاتي في نظام UFMC، حالة تضمين QAM، بدون استخدام SLM

## 6. الطريقة المقترنة : (Proposed Method)

يوضح الشكل (5) المخطط الصندوقي للطريقة المقترنة، حيث يتم في طرف الإرسال دخول البيانات الرقمية التسلسلية إلى صندوق التضمين لعطي في خرجه رموز نظام التضمين المستخدم، بعد ذلك تدخل رموز

عموماً يوجد عدة طرق للإلغاء الذاتي للتدخل بين الحاملات الفرعية تختلف فيما بينها في آلية توزيع رموز المعطيات على الحاملات الفرعية ومنها:

### 5.1 طريقة تحويل البيانات : [10] (Data Conversion)

وهي الطريقة التقليدية لتنمية الإلغاء الذاتي للتدخل بين الحاملات الفرعية وتعتمد هذه الطريقة على تشكيل رموز المعطيات في المجال الفرعي  $i$  بالتناوب المبين في الجدول (1):

جدول 1: آلية توزيع رموز المعطيات على الحاملات الفرعية في طريقة تحويل البيانات Data Conversion

$S_i(0)$
$S_i(1) = -S_i(0)$
$S_i(2)$
$S_i(3) = -S_i(2)$
.
.
$S_i(N_{BC} - 2)$
$S_i(N_{BC} - 1) = -S_i(N_{BC} - 2)$

: عدد الحاملات الفرعية في حزمة واحدة.

### 5.2 طريقة تحويل البيانات الموزون الجماعي Plural : [10] Weighted Data Conversion (PWDC)

تعتمد هذه الطريقة على تشكيل رموز المعطيات في المجال الفرعي  $i$  بالتناوب المبين في الجدول (2):

جدول 2: آلية توزيع رموز المعطيات على الحاملات الفرعية في طريقة تحويل البيانات الموزون الجماعي PWDC

$S_i(0)$
$S_i(1) = e^{-j\frac{\pi}{2}} S_i(0)$
$S_i(2)$
$S_i(3) = e^{-j\frac{3\pi}{2}} S_i(2)$
.
.
$S_i(N_{BC} - 2)$
$S_i(N_{BC} - 1) = e^{-j\frac{\pi}{2}} S_i(N_{BC} - 2)$

### 5.3 طريقة مرافق البيانات : [10] (Data Conjugate)

تعتمد هذه الطريقة على تشكيل رموز المعطيات في المجال الفرعي  $i$  بالتناوب المبين في الجدول (3):

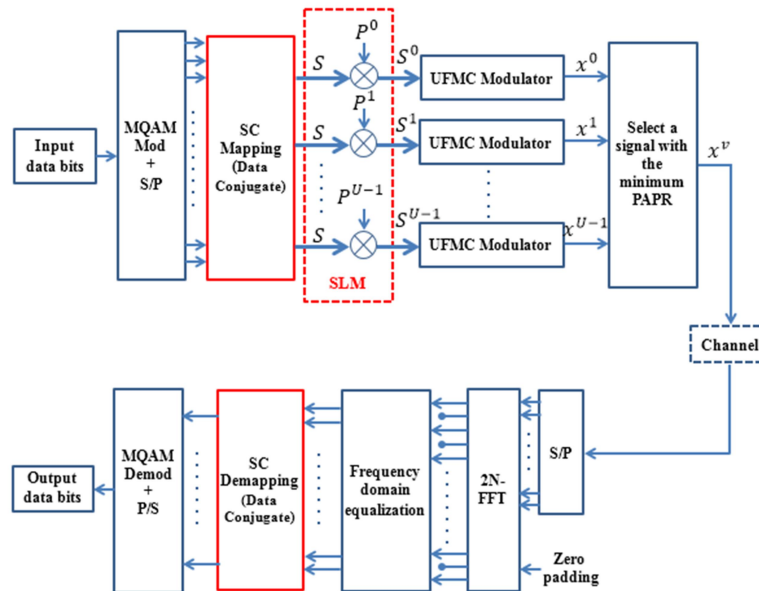
جدول 3: آلية توزيع رموز المعطيات على الحاملات الفرعية في طريقة مرافق البيانات Data Conjugate

$S_i(0)$
$S_i(1) = -S_i^*(0)$
$S_i(2)$
$S_i(3) = -S_i^*(2)$

بعد مرحلة مرافق البيانات (Data Conjugate) تبدأ مرحلة التحويل الانتقاني (SLM) حيث يتم فيها نسخ سلسلة رموز الدخل ( $S$ ) وضربها بمجموعة مؤلفة من  $U$  متوجه دوران طوري  $[P_0, P_1, \dots, P_{U-1}]$  وكل سلسلة طورية تتالف من  $N$  معامل دوران طوري، قيمة كل معامل تساوي

المعطيات (Data Symbols) إلى صندوق مرافق البيانات (Data Symbols Conjugate) حيث يتم في هذه المرحلة تعديل رمز المعطيات كما هو على الحامل الفرعى الأول وتعديل المرافق العقدى لرمز المعطيات بعد ضربه بـ (1) على الحامل الفرعى الثاني وفق التتابع التالي:

$$S_i(1) = -S_i^*(0), S_i(3) = -S_i^*(2), \dots, S_i(N_{BC} - 1) = -S_i^*(N_{BC} - 2)$$



شكل 5: المخطط الصندوقى للطريقة المقترنة

## 7. المحاكاة والنتائج:

تم استخدام برنامج MATLAB R2014a لتقدير أداء الطريقة المقترنة من خلال قياس نسبة القيمة العظمى إلى معدل الطاقة (PAPR) وقياس معدل خطأ الخاتمة (BER)، وعوامل المحاكاة مبينة بالجدول (4).

يعد استخدام مرشح chebyshev في نظام UFMC شائعاً في العديد من الدراسات المرجعية نظراً لأناته وفعاليته، حيث يتميز بقدرته على تخفيض الإشعاعات خارج المجال (out-of-band).

جدول 4: عوامل المحاكاة

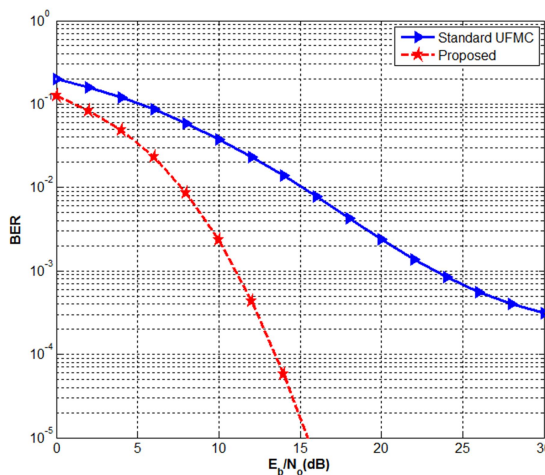
الخصائص	العامل
512	حجم FFT
10	عدد الحزم فرعية
20	عدد الحاملات الفرعية في كل حزمة فرعية
4QAM , 16QAM	نوع التضمين
AWGN	قناة الاتصال
Chebyshev filter	نوع المرشح
43	طول المرشح
0.05 , 0.1	الإزاحة الترددية
4	عدد متوجهات دوران الطور
100000	UFMC عدد إشارات

تبين المحننات المبينة في الأشكال (9-6) مقارنة أداء التقنية المقترنة مع نظام UFMC الأساسي من ناحية معدل خطأ الخاتمة (BER) من أجل أنواع تضمين وازمات ترددية مختلفة، فمن أجل نظام التضمين 4QAM

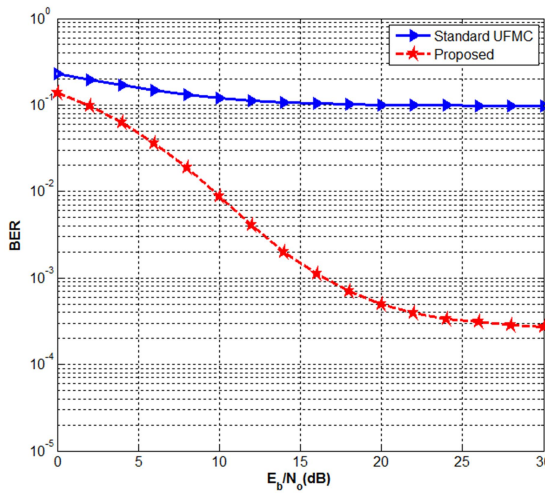
الإشارة  $S$  بمتجه دوران طوري تدخل كل إشارة ناتجة  $[S_0, S_1, \dots, S_{U-1}]$  إلى معدل UFMC خاص بها الذي يحتوى على عدة صناديقIFFT وعدة مرشحات كما هو مبين بالشكل (1)، حيث يتم في معدل UFMC تقسيم العدد الكلى للحاملات الفرعية إلى عدة حزم فرعية، بحيث يكون عدد الحاملات الفرعية في الحزمة الفرعية  $i$  هو  $k_i$ ، ومن ثم يتم توزيع الرموز الفرعية الناتجة عن مرحلة SLM على الحاملات الفرعية بواسطة معكوس تحويل فورييه السريع بحجم  $N$ ، بعد تطبيق عمليةIFFT على كل حزمة فرعية فإن الإشارة تمر عبر مرشح حزمة بطول  $L$  لتخفيض الإشعاع خارج المجال (Out-of-Band) [14]، وأخيراً يتم جمع خرج هذه المرشحات لتشكيل رمز UFMC بطول  $L-1$ ، وهكذا نحصل على عدة إشارات UFMC هي:  $[x^0, x^1, \dots, x^{U-1}]$  حيث يتم اختيار الإشارة  $x^v$  التي تحقق أقل قيمة لـ PAPR ليتم إرسالها عبر قناة الاتصال، حيث تشير  $v$  إلى رقم متوجه الدوران الطوري الأفضل الذي يحقق أقل قيمة لـ PAPR. في طرف الاستقبال تطبق الإشارة بعد إضافة أصفار (zero padding) على تحويل فورييه مضاعف (2N-FFT) و يتم اختيار الرموز الفرعية وتطبيقها على مسوبي (Equalizer) لإزالة تشويه المرشح وتقدير الرموز المستقبلة على كل حامل فرعى، بعد ذلك تدخل الرموز إلى مرحلة SC Demapping حيث يتم في هذه المرحلة استخلاص رموز المعطيات بعد إلغاء التداخل ICI عن طريق المجم الخطي للإشارات المستقبلة، وتعطى العلاقة المعبرة عن الرموز المستقبلة بالعلاقة (5):

$$Y''(m) = \frac{1}{2}[Y'(m) - Y^*(m+1)] \quad (5)$$

بعد مرحلة SC Demapping يتم فك التضمين لاستخلاص البيانات (data symbols) من رموز المعطيات (data bits).  
 $Y'(m)$ : الإشارة المستقبلة على الحامل  $m$ .  
 $Y^*(m+1)$ : المافق العقدى للإشارة المستقبلة على الحامل  $m+1$ .



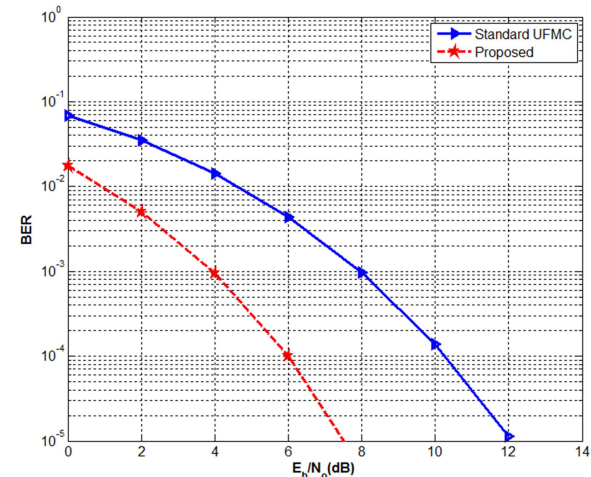
شكل 8: مقارنة BER للتقنية المقترحة مع نظام UFMC الأساسي،  
لحالة تضمين 16QAM وإزاحة ترددية  $\epsilon=0.05$



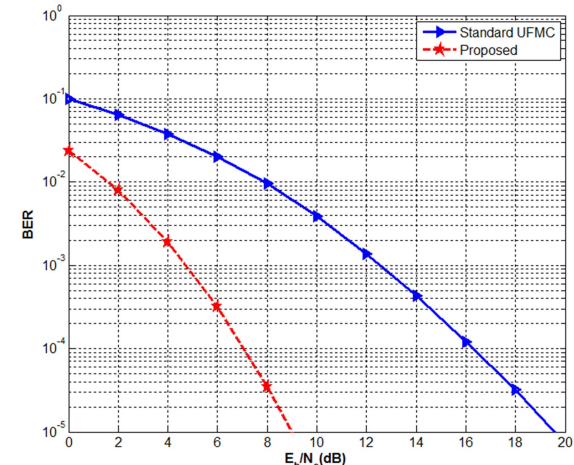
شكل 9: مقارنة BER للتقنية المقترحة مع نظام UFMC الأساسي،  
لحالة تضمين 16QAM وإزاحة ترددية  $\epsilon=0.1$

أما بالنسبة لقيمة PAPR فإنه يتم قياسها في خرج مرسل UFMC وقبل إرسال الإشارة، أي أنه لا تتأثر قيمة PAPR بالإزاحة الترددية التي تحدث خلال قناة الاتصال. نلاحظ من الشكل (10) أن الطريقة المقترحة حسنت أداء نظام UFMC من ناحية نسبة القيمة العظمى إلى معدل الطاقة بحوالى 2.25dB مقارنة بنظام UFMC الأساسي.

والإزاحة الترددية 0.05 تقدم التقنية المقترحة عند نسبة خطأ  $10^{-5}$  ربح بحوالى 5dB مقارنة مع نظام UFMC الأساسي، وعند الإزاحة الترددية 0.1 تقدم التقنية المقترحة عند نسبة خطأ  $10^{-5}$  ربح بحوالى 9dB مقارنة مع نظام UFMC الأساسي. أما من أجل نظام التضمين 16QAM مع الإزاحة الترددية 0.05 نلاحظ أنه لا يمكن لنظام UFMC الأساسي الوصول لنسبة خطأ تساوي  $10^{-5}$  في حين يمكن للتقنية المقترحة الوصول لنسبة الخطأ هذه عند  $E_b/N_0 \approx 15.5$ dB، ومن أجل نظام التضمين 16QAM والإزاحة الترددية 0.1 نلاحظ أن نظام UFMC الأساسي يفقد أداء بشكل كامل في حين يمكن للتقنية المقترحة الوصول لنسبة خطأ تساوي  $10^{-3}$  عند  $E_b/N_0 \approx 16$ dB.



شكل 6: مقارنة BER للتقنية المقترحة مع نظام UFMC الأساسي،  
لحالة تضمين QAM وإزاحة ترددية  $\epsilon=0.05$



شكل 7: مقارنة BER للتقنية المقترحة مع نظام UFMC الأساسي،  
لحالة تضمين QAM وإزاحة ترددية  $\epsilon=0.1$

Journal of Theoretical and Applied Information Technology, vol. 97, no. 9, 2019.

[4] F. S. Shawqi, L. Audah, A. T. Hammoodi, M. M. Hamdi and A. H. Mohammed, "A Review of PAPR Reduction Techniques for UFMC Waveform," IEEE, International Symposium on Multidisciplinary Studies and Innovative Technologies (ISMSIT), 2020.

[5] K. Kishore, J. Naveen, R. Kumar and S. Rao, "A Comprehensive Analysis of PAPR Reduction in Scrambled UFMC and OFDM Using Artificial Bee Colony Algorithm for 5G Communication," IETE of Research, vol. 70, Issue. 5, 2023.

[6] K. Sakthi and K. Dhinesh, "PAPR Reduction Technique for Universal Filter Multi Carrier," International Journal of Advance Research in Engineering, Science & Technology, vol. 5, I. 3, 2018.

[7] L. Ken, C. Heli, D. Sirui and Z. Zhiyi, "Improved Algorithm of Carrier Interference Suppression in UFMC System," Institute of Telecommunication & Information Engineering, Chongqing University of Posts & Telecommunications, Vol. 36, no. 9, 2019.

[8] P. Rani, S. Baghla and H. Monga, "An Improved PAPR Reduction Technique for Universal Filter Multi-Carrier Modulation," Acta Electrotechnica et Informatica, vol. 18, no. 1, 2018.

[9] P. Rani, S. Baghla and H. Monga, "Hybrid PAPR Reduction Scheme for Universal Filter Multi-Carrier Modulation in Next Generation Wireless Systems," Research & Development in Material Science, vol. 2, no.5, 2018.

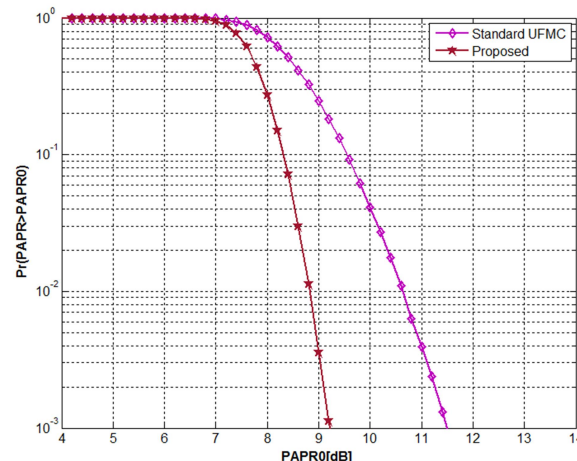
[10] Q. Shi, Y. Fang and M. Wang, "A Novel ICI Self-Cancellation Scheme for OFDM Systems," IEEE International Conference on Wireless Communication, Networking and Mobile Computing, pp. 1-4, 2009.

[11] R. Ravindran and A. Viswakumar, "Performance Evaluation of 5G Waveforms: UFMC and FBMC-OQAM with Cyclic Prefix-OFDM System," 9<sup>th</sup> International Conference on Advances in Computing and Communication, 2019.

[12] R. W. Bauml, R. F. H. Fischer and J. B. Huber, "Reducing the Peak-to-Average Power Ratio of Multicarrier Modulation by Selected Mapping," Electronics Letters, Vol. 32, no. 22, 1996.

[13] S. A. Fathy, M. N. A. Ibrahim, S. S. Elagooz and M. Elhennawy, "Efficient SLM Technique for PAPR Reduction in UFMC Systems," 36<sup>th</sup> National Radio Science Conference (NRSC), 2019.

[14] S. P. Yadav, "Performance Optimization of Universal Filtered Multicarrier Technique for Next Generation Communication Systems," International



شكل 10: مقارنة PAPR للتقنية المقترحة مع نظام UFMC الأساسي، حالة التضمين QAM

## 8. الاستنتاجات:

تم في هذا البحث اقتراح طريقة لتحسين أداء نظام UFMC من ناحية معدل خطأ الخانة (BER) ومن ناحية نسبة القيمة العظمى إلى معدل الطاقة (PAPR) عن طريق استخدام بنية تقنية التحويل الانقلي (SLM) التي تعتبر من التقنيات الهامة في تخفيض PAPR وطريقة مرفاق البيانات ICI Conjugate (Data Conjugate) التي تعتبر من الطرق الفعالة في تخفيض BER. إن تطبيق تقنية SLM مع طريقة Data Conjugate في نظام UFMC يحسن قيم كلاماً من BER، حيث أنه بعد الدراسة وإجراء المحاكاة للطريقة المقترحة باستخدام برنامج MATLAB استطعنا من خلال هذا البحث أن نستنتج ما يلي:

- بینت نتائج المحاكاة أن الطريقة المقترحة حسنت أداء نظام UFMC من ناحية معدل خطأ الخانة BER بفعالية من أجل أنظمة تضمين وازاحت تردديات مختلفة نتيجة تبديل طريقة مرفاق البيانات (Data Conjugate) في الطريقة المقترحة.
- بینت نتائج المحاكاة أيضاً أن الطريقة المقترحة حسنت أداء نظام UFMC من ناحية نسبة القيمة العظمى إلى معدل الطاقة (PAPR) بحوالى 2.25dB مقارنة بنظام UFMC الأساسي نتيجة استخدام بنية تقنية التحويل الانقلي (SLM) في الطريقة المقترحة.

## 9. المصادر:

- [1] A. Akash, B. U. Maheswari, B. P. Naidu, A. Revanth and A. V. V. Raj, "PAPR Analysis in UFMC System Using Companding Technique for Wireless Communications," Journal of Emerging Technologies and Innovative Research (JETIR), Vol. 10, Issue 3, 2023.
- [2] A. Hazareena and B. A. Musthafa, "UFMC System Performance Analysis for 5G Cellular Networks," Turkish Journal of Computer and Mathematics Education, vol. 12, no. 10, 2021.
- [3] A. J. Ramadhan, "Overview and Implementation of the Two Most Important Candidate 5G Waveforms,"

- [16] Y. Zhang, K. Liu and Y. Liu, "A Novel PAPR Reduction Algorithm Based on SLM Technique in UFMC Systems," IEEE/CIC International Conference on Communications in China (ICCC Workshops), 2018.
- Journal of Electrical and Computer Engineering Systems, vol. 14, Number 2, 2023.
- [15] V. Chaudhary and R. Mandal, "A Review on Various Approaches to Reduce ICI in MIMO OFDM System," International Journal for Innovative Research in Science & Technology (IJIRST), Vol. 1, I. 8, 2015.

## A Proposed Method for Improving The Performance of UFMC System in terms of PAPR and BER

*Alaa Aldeen Alali<sup>1</sup>, Mohammad Samir Modabbes<sup>2</sup>*

<sup>1</sup>Department of Communications Engineering - Faculty of Electrical and Electronic Engineering, Aleppo University, Aleppo, Syria,

<sup>2</sup> Department of Communications Engineering, Faculty of Electrical and Electronic Engineering, Aleppo University, Aleppo, Syria, ,

\*Corresponding author: Alaa Aldeen Alali ,alaa90.lord@gmail.com.

Published online: 31 December 2025

**Abstract—** In this research, the impact of two major issues affecting the Universal Filtered Multicarrier (UFMC) system was mitigated: the high peak-to-average power ratio (PAPR) and intercarrier interference (ICI) which leads to the degradation of the bit error rate (BER) and consequently, the overall system performance. A method was proposed to simultaneously reduce both PAPR and BER by applying the selective mapping (SLM) technique in combination with the data conjugate method within the UFMC system. Simulations were conducted using MATLAB, and the results demonstrate that the proposed method offers superior performance compared to the standard UFMC system. For 16QAM modulation and frequency offset  $\epsilon=0.05$  (dimensionless), the BER reaches  $10^{-5}$  at  $E_b/N_0 \approx 15.5$  dB. Additionally, the PAPR was reduced by approximately 2.25 dB compared to standard UFMC system.

**Keywords—** UFMC, SLM, Data Conjugate, PAPR, BER.